

# BURGERS 方程的守恒型格式求解

廖钰蕾

数学与系统科学研究院计算数学与科学与工程计算研究所

电子邮箱: liaoyulei19@mails.ucas.ac.cn

## 1. 问题描述

对下述 Burgers 方程的初边值问题

$$(1.1) \quad \begin{cases} u_t + (u^2/2)_x = 0, & x \in [-1, 1], \quad t > 0, \\ u(x, 0) = u_0(x) = \sin(\pi x + \pi), \\ \text{periodic B.C. for } x, \end{cases}$$

使用不同的守恒型格式求解. 包括 Lax-Friedrichs, Roe(迎风), Engquist-Osher 格式, Godunov 格式, 和 Lax-Wendroff 格式.

- 计算各个格式在  $t = 0.15$  时的误差和收敛阶.
- 画出  $t = 0.5$  时的精确解和数值解对比图.

## 2. 关键算法和格式

### 2.1. 精确解求解方法.

利用特征线可以计算守恒律方程的精确解. Burgers 方程 (1.1) 的特征线如图 1 所示.

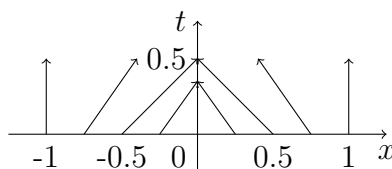


图 1. Burger 方程 1.1 的特征线

**命题 2.1.** *Burgers* 方程 (1.1) 仅在  $x = 0$  处出现激波, 无稀疏波.

**证明.** 考虑过点  $(x_0, 0)$  的特征线  $x = x_0 - \sin(\pi x_0)t$  与  $x = 0$  交于  $t = x_0/\sin(\pi x_0)$  处. 令

$$f(x_0) := \frac{x_0}{\sin(\pi x_0)}, \quad x_0 \in [-1, 1],$$

求导得

$$f'(x_0) = \frac{\sin(\pi x_0) - \pi x_0 \cos(\pi x_0)}{\sin^2(\pi x_0)}.$$

令

$$g(x_0) := \sin(\pi x_0) - \pi x_0 \cos(\pi x_0),$$

求导得

$$g'(x_0) = \pi^2 x_0 \sin(\pi x_0) \geq 0, \quad x_0 \in [-1, 1].$$

由  $g(0) = 0$  知,  $f(x_0)$  在  $x_0 \in (-1, 0)$  单调递减, 在  $x_0 \in (0, 1)$  单调递增. 故特征线仅在  $x_0 = 0$  处相交.  $\square$

若点  $(x, t)$  处精确解为  $u$ , 则过该点的特征线  $x' = x + u(t' - t)$  交  $t_0 = 0$  于点  $x_0 = x - ut$  处, 且在  $(x_0, 0)$  处的精确解  $u_0(x - ut) = -\sin(\pi(x - ut))$ . 故点  $(x, t)$  处精确解  $u$  满足方程

$$f(u) := u + \sin(\pi(x - ut)) = 0.$$

我们采用 Newton 迭代法计算点  $(x, t)$  处精确解  $u$ , 迭代初值设为  $-\text{sgn}(x)$ , 其中  $\text{sgn}(\cdot)$  为符号函数. 具体过程见算法 1.

---

#### 算法 1 计算精确解算法

---

**输入:** 空间坐标  $x[1:n]$ , 时间坐标  $t$ , 精度  $tg v$ .

**输出:** 精确解  $u[1:n]$ .

```

function ExSOLU( $x, t, tg v$ )
    设置初值  $u \leftarrow -\text{sgn}(x)$ 
    待求  $f(u) \leftarrow u + \sin(\pi(x - ut))$  的零点
    while  $\|f(u)\|_\infty > tg v$  do
        进行一次 Newton 迭代  $u \leftarrow u - f(u)/f'(u)$ 
         $f(u) \leftarrow u + \sin(\pi(x - ut))$ 
    end while
    return  $u$ 
end function

```

---

## 2.2. 数值解计算格式.

我们采用守恒型格式

$$u_j^{n+1} = u_j^n - \frac{\Delta t}{\Delta x} \left( \hat{f}_{j+1/2} - \hat{f}_{j-1/2} \right)$$

计算数值解. 对于不同的守恒型格式, 通量  $\hat{f}_{j+1/2}$  不同.

Burgers 方程 (1.1) 不含  $x = \pm 1$  的边值条件. 由于  $t = 0$  的初值条件是周期的, 当网格划分均匀时, 每个时间层计算的数值解也是周期的, 即  $u[n] = u[1], u[n+1] = u[2], \dots$ . 可由此计算边界的数值解, 具体算法如 2, 其中  $\hat{f}_{j+1/2}$  为上述通量.

---

### 算法 2 计算数值解算法

---

**输入:** 初值  $u_0[1:n]$ , 空间坐标  $x[1:n]$ , 空间间隔  $dx$ , 时间间隔  $dt$ , 时间层  $nt$ , 通量函数  $\hat{f}_{j+1/2}(u)$ .

**输出:** 数值解  $u[1:n]$ .

**function** NUSOLU( $u_0, x, dx, dt, nt$ )

由周期性扩展初值  $u \leftarrow [u_0, u_0[2]]$

**for**  $it = 1 : nt$  **do**

$\text{hat}f[j] \leftarrow \hat{f}_{j+1/2}(u), \quad j = 1, \dots, n$

$u[2:n] \leftarrow u[2:n] - dt/dx * (\text{hat}f[2:n] - \text{hat}f[1:n-1])$

$u[1] \leftarrow u[n]$

$u[n+1] \leftarrow u[2]$

**end for**

**return**  $u$

**end function**

---

Burgers 方程 (1.1) 中  $f(u) = u^2/2$ , 对应的不同格式通量如下:

- Lax-Friedrichs:

$$\hat{f}_{j+1/2} = \frac{1}{2} \left( \frac{1}{2} u_j^2 + \frac{1}{2} u_{j+1}^2 - \frac{\Delta x}{\Delta t} (u_{j+1} - u_j) \right).$$

- Roe:

$$\hat{f}_{j+1/2} = \begin{cases} u_j^2/2, & u_j + u_{j+1} \geq 0, \\ u_{j+1}^2/2, & u_j + u_{j+1} < 0. \end{cases}$$

- Engquist-Osher:

$$\hat{f}_{j+1/2} = \frac{1}{2} (\max(u_j, 0))^2 + \frac{1}{2} (\min(u_{j+1}, 0))^2.$$

- Godunov:

$$\hat{f}_{j+1/2} = \begin{cases} \min(u_j^2, u_{j+1}^2)/2, & u_j < u_{j+1} \text{ 且 } u_j u_{j+1} > 0, \\ \max(u_j^2, u_{j+1}^2)/2, & u_j \geq u_{j+1}, \\ 0, & \text{否则.} \end{cases}$$

- Lax-Wendroff:

$$\hat{f}_{j+1/2} = \frac{1}{2} \left( \frac{1}{2}(u_j^2 + u_{j+1}^2) - \frac{\Delta t}{4\Delta x} (u_j + u_{j+1}) (u_{j+1}^2 - u_j^2) \right).$$

### 3. 数值实验

我们的实验使用 GNU Octave v5.1.0<sup>1</sup>实现, 运行系统为 Windows10-x64.

守恒型格式的稳定性必要条件为  $(\Delta t/\Delta x) \max_u |f'(u)| \leq 1$ , 其中 Burgers 方程 (1.1) 的  $f(u) = u^2/2$ . 由于  $\max_u |f'(u)| = 1$ , 实验中我们取  $\Delta t/\Delta x = 1$ . 计算精确解  $u$  时, Newton 迭代法的终止条件为  $\|f(u)\|_\infty \leq 1e-10$ .

#### 3.1. 第一个数值实验.

我们计算  $t = 0.15$  时上述五种守恒型格式的误差和收敛阶, 实验结果见表 1, 其中表头为网格细度  $\Delta t = \Delta x$  的值. 可以看出 Lax-Friedrichs, Roe, Engquist-Osher, Godunov 的收敛阶为 1, 其中 Lax-Friedrichs 解的精度更低, 验证了其相比迎风格式有更大耗散性的特点. Lax-Wendroff 的收敛阶为 2, 解有更高的精度.

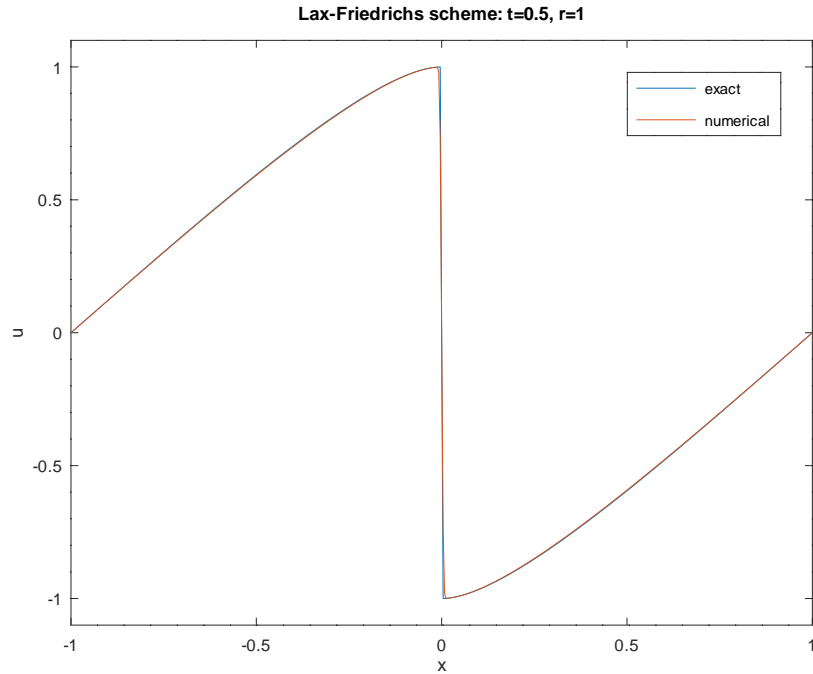
#### 3.2. 第二个数值实验.

我们绘制了  $t = 0.5$  时精确解和上述五种守恒型格式数值解对比图如下, 其中网格细度  $\Delta t = \Delta x = 1/256$ . 可以看出 Lax-Friedrichs, Roe, Engquist-Osher, Godunov 保持总变差不增, 符合单调格式的特点. Lax-Wendroff 格式精度与收敛阶更高, 但在间断附近会产生震荡.

<sup>1</sup><https://www.gnu.org/software/octave/doc/v5.1.0/>

表 1.  $t = 0.15$  时的误差和收敛阶, 表头为  $\Delta t = \Delta x$  的值

	1/40	1/80	1/160	1/320	1/640	1/1280
Lax-Friedrichs						
	2.450e-2	1.249e-2	6.317e-3	3.177e-3	1.594e-3	7.982e-4
rate		0.97	0.98	0.99	1.00	1.00
Roe						
	9.130e-3	5.002e-3	2.634e-3	1.354e-3	6.865e-4	3.457e-4
rate		0.87	0.93	0.96	0.98	0.99
Engquist-Osher						
	9.130e-3	5.002e-3	2.634e-3	1.354e-3	6.865e-4	3.457e-4
rate		0.87	0.93	0.96	0.98	0.99
Godunov						
	9.130e-3	5.002e-3	2.634e-3	1.354e-3	6.865e-4	3.457e-4
rate		0.87	0.93	0.96	0.98	0.99
Lax-Wendroff						
	1.519e-3	3.904e-4	9.858e-5	2.477e-5	6.204e-6	1.553e-6
rate		1.96	1.99	1.99	2.00	2.00

图 2.  $t = 0.5$  时 Lax-Friedrichs 格式对比图

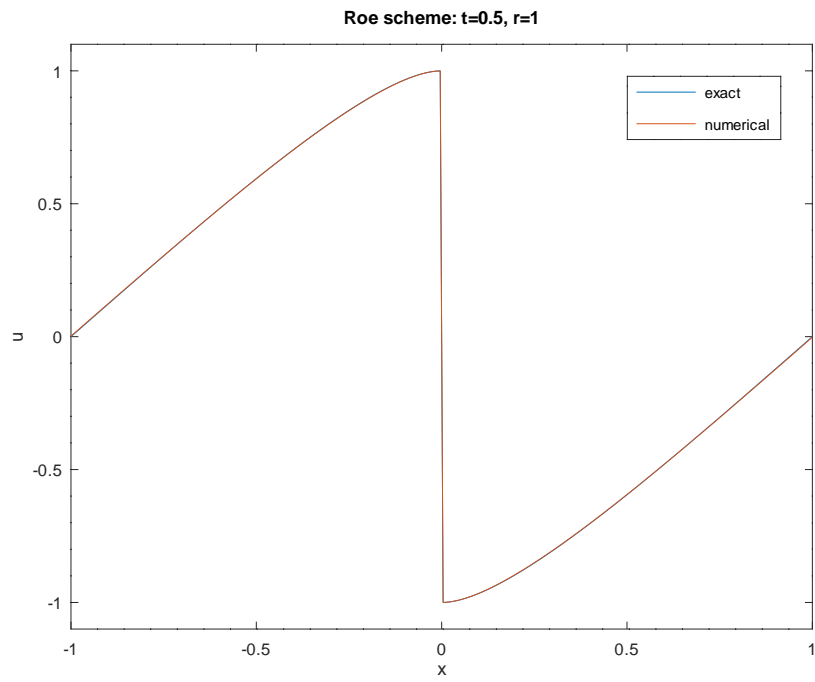


图 3.  $t = 0.5$  时 Roe 格式对比图

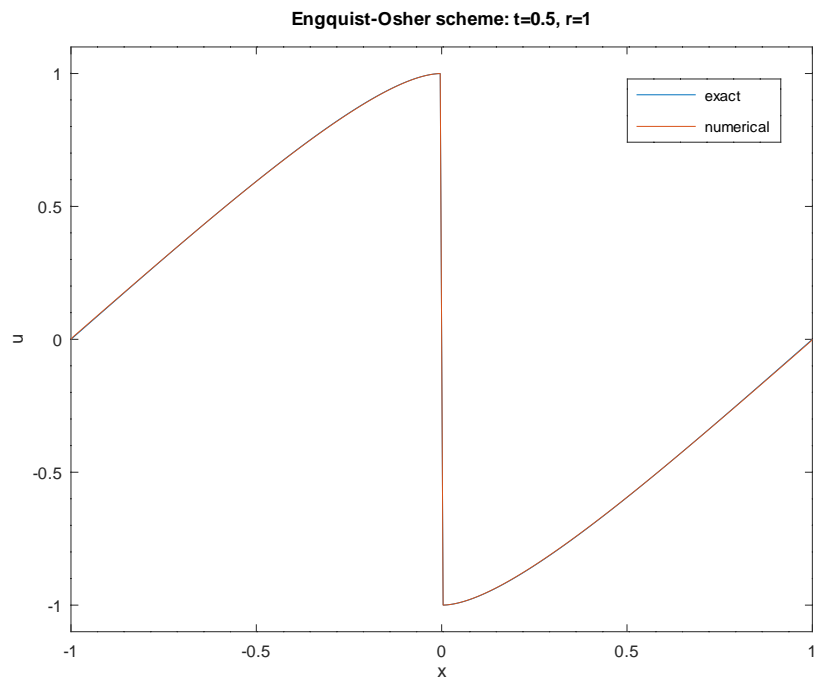


图 4.  $t = 0.5$  时 Engquist-Osher 格式对比图

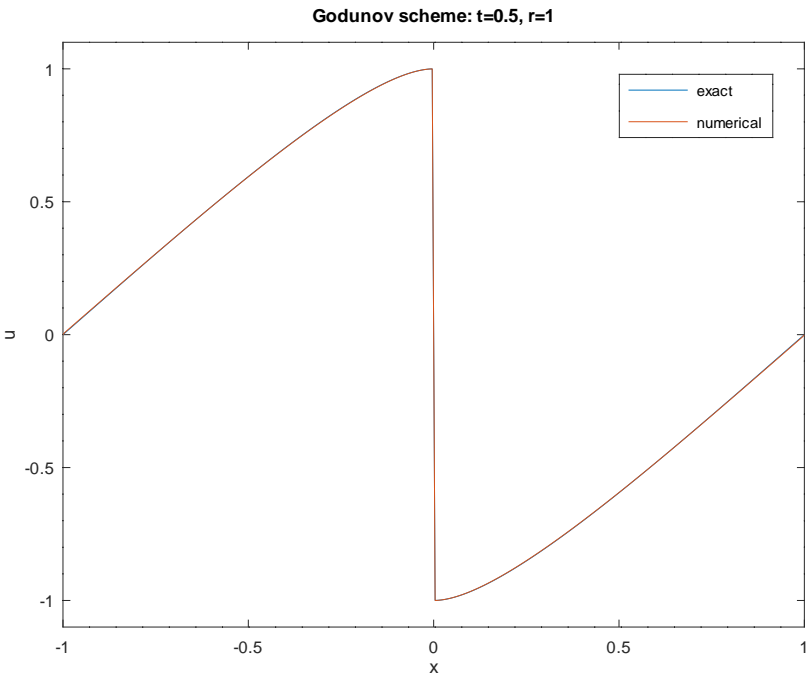


图 5.  $t = 0.5$  时 Godunov 格式对比图

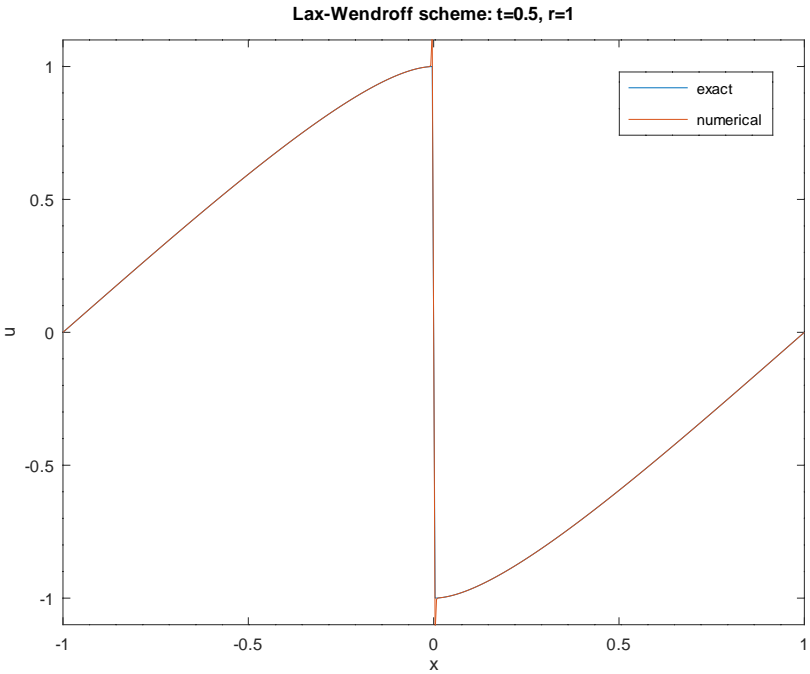


图 6.  $t = 0.5$  时 Lax-Wendroff 格式对比图